

Kontrol Edilebilir ptSTL Formülü Sentezi

Synthesis of Controllable ptSTL Formulas

Irmak Saglam ve Ebru Aydin Gol

Bilgisayar Mühendisliği, ODTÜ

Ankara, Türkiye

saglam.irmak@metu.edu.tr, ebrugol@metu.edu.tr

Özetçe —Bu bildiriye anomali tespiti ve önlenmesi probleme, Sinyal Zamansal Mantığı (Signal Temporal Logic) tabanlı iki aşamalı bir çözüm sunulmaktadır. İlk aşama nedenlerin tespiti, ikinci aşama ise bir kontrol stratejisi ile nedenlerin sistem üzerinde engellenmesidir. İki aşama birbirine bağlıdır. Bu bildiriye, ilk aşama olan istenmeyen olayların nedenlerinin tespitinde kullanılan neden formülü şablonu geliştirilmektedir. Bildiriye kullanılan şablon ile bütün kontrol edilebilir formüller tanımlanabilmektedir. Bu şablon için verimli bir formül sentezleme algoritması sunulmuş, ve sonuçlar örnek bir sistem üzerinde gösterilmiştir.

Anahtar Kelimeler—Formel metotlar, STL, gereksinim türetme, anomali tespiti ve önlenmesi.

Abstract—In this work, we develop an approach to anomaly detection and prevention problem using Signal Temporal Logic (STL). This approach consists of two steps: detection of the causes of the anomalies as STL formulas and prevention of the satisfaction of the formula via controller synthesis. This work focuses on the first step and proposes a formula template such that any controllable cause can be represented in this template. An efficient algorithm to synthesize formulas in this template is presented. Finally, the results are shown on an example.

Keywords—Formal methods, STL, requirement mining, anomaly detection and prevention.

I. GİRİŞ

Sistem izleri üzerinde istenmeyen olayların işaretlenip, bu olayların oluşmasını engelleyecek kontrol stratejilerinin üretilmesi robotik alanında karşılaşılan bir problemdir. İzlerin analiz edilip, istenmeyen olayların önlenmesine yönelik strateji geliştirilmesi *anomali tespiti ve önlenmesi* problemi olarak da bilinir. Bu problem veri bilimi alanında farklı açılardan ele alınmaktadır [1]. Diğer taraftan bu problemi hedef alan popüler yaklaşımlardan biri, formal metod yaklaşımlarıdır.

Formel kontrol uygulamalarında amaç, zengin bir gereksinim dilinde ifade edilmiş olan bir formülden, bir sistem için kontrol stratejisi üretmektir [2], [3]. Formal metotlarda dinamik sistemler için kullanılan ana çözüm stratejisi, sistemin sonlu bir soyut modelini çıkarmaktır [3]. Bu sonlu model için otomata teorik yaklaşımlar ile verilen gereksinimden bir kontrol stratejisi üretilir, ardından bu strateji dinamik sisteme uyarlanır. Karmaşık gereksinimler için otomatik olarak kontrol stratejisi üretilmesini sağlayan bu yaklaşım robotik uygulamaları için kullanılmaktadır [2]. Gerekirci olmayan (non-deterministic) ve stokastik sistemler için de benzer yaklaşımlar bulunmaktadır [4]. Ancak soyut modelin oluşturulmasında kullanılan

metotlar politopik işlemler içermekte ve bu da ölçeklendirilmelerini (çok boyutlu sistemlere uygulanmalarını) imkansız kılmaktadır. Ek olarak bu metotlar sistem dinamiğine özgü işlemler içermekte (örn. doğrusal) ve karmaşık dinamiklere sahip sistemler üzerinde uygulanamamaktadırlar.

Bu bildiriye istenmeyen olayların engellenmesi için kontrolcü üretimi problemine iki aşamalı bir çözüm sunulmaktadır. İlk aşamada etiketli sistem izlerinden oluşan bir veri kümesi kullanılarak, etiketlenmiş olayları ifade edecek belirli bir yapıdaki geçmiş zamanlı sinyal zamansal mantık (past time Signal Temporal Logic - ptSTL) formülleri üretilir. İkinci aşamada ise, bulunan formüllerin sağlanması, yani istenmeyen olayların oluşması, bir kontrolcü ile engellenir. Bu bildiriye *engellenebilir* veya *kontrol edilebilir* formüllerin üretilmesine odaklanılmış ve üretilen formüllerin kontrol edilebilir olduğu kanıtlanmıştır. Bu ispat kontrolcü üretilmesi üzerine bir metot sunsa da, daha verimli kontrolcü üretme problemi ileriki çalışmalarda ele alınacaktır.

Sunulan çözüm yöntemi, sistem dinamiğinden bağımsızdır. Temel olarak, sistem dinamiğine bakılmadan sadece sistem izlerinden bir formül türetilmekte ve bu formül için sistem dinamiğinden bağımsız geri beslemeli bir kontrolcü üretilmektedir. Bu sayede geliştirilen metot farklı özellikleri olan dinamik sistemlere uygulanabilecektir. Ek olarak, formül türetme ve kontrolcü sentezleme adımlarında karmaşık işlemler yer almadığı için çok boyutlu sistemlere de uygulanabilmektedir.

Etiketli izlerden formül türetme problemi literatürde farklı açılardan ele alınmıştır [5]–[8]. Bu çalışmaların bir çoğunda hedef bir sınıflandırıcı üretmektir ve kontrol edilebilirlik özelliği değerlendirilmiştir. [8] numaralı referansta, bu çalışmada olduğu gibi, kontrol edilebilir bir formül üretilmiştir. Ancak [8] çalışmasında ele alınan formül şablonu, sadece belirli bir süre boyunca aynı kontrol girdisinin uygulandığı durumları tanımlayabilmektedir. Bu nedenle de olası diğer kontrol edilebilir nedenleri ifade etmekte yetersiz kalmaktadır.

Bu çalışmada, yeni bir kontrol edilebilir formül şablonu tanımlanmış, ve bu şablona uygun formüllerin üretilmesi için bir formül sentezleme algoritması anlatılmıştır. Kontrol edilebilir bütün formüllerin bu şablon ile ifade edilebileceği gösterilmiştir. Bu sayede, istenmeyen olayların etiketli olduğu bir kontrol sisteminde, en hassas kontrol edilebilir nedenlerin dahi bu şablonla üretilebileceği garanti edilmektedir.

II. ÖN BİLGİLER VE PROBLEM TANIMI

A. Sistem tanımı

Kesikli bir dinamik sistem Denklem (1)'deki gibi ifade edilmiştir.

$$x_{k+1} = f(x_k, u_k, w_k) \quad (1)$$

$x_k = [x_k^0, \dots, x_k^{n-1}] \in \mathbb{X} \subset \mathbb{R}^n$ sistemin k anındaki durumunu, $u_k = [u_k^0, \dots, u_k^{m-1}] \in \mathbb{U} \subset \mathbb{R}^m$ kontrol girdilerini, $w_k \in \mathbb{W} \subset \mathbb{R}^l$ ise sistem gürültüsünü temsil eder. Bu çalışmada, her kontrol girdisinin değerlerini sınırlı bir kümeden aldığı varsayılmıştır. Yani $\mathbb{U}^i = \{c^{(i,1)}, \dots, c^{(i,M_i)}\} \subset \mathbb{R}$, $i = 0, \dots, m-1$ ve $\mathbb{U} = \mathbb{U}^0 \times \dots \times \mathbb{U}^{m-1}$. Sistemin sınırlı uzunluktaki bir izi

$$\mathbf{x} = (x_0, u_0), \dots, (x_N, u_N),$$

ile gösterilir, öyle ki bu iz üzerindeki her bir k anı için $x_{k+1} = f(x_k, u_k, w_k)$ eşitliğini sağlayan bir gürültü değeri $w_k \in \mathbb{W}$ vardır. Bir \mathbf{x} izinin etiketi, aynı uzunlukta ikili (binary) bir seridir ve aşağıdaki gibi gösterilir,

$$\mathbf{l} = l_0, \dots, l_N, \quad l_k \in \{0, 1\} \quad (2)$$

$l_k = 1$ etiketi k anında istenmeyen bir olay gerçekleştiğini ifade eder. Sistem (1) için etiketli bir iz kümesi aşağıdaki gibi gösterilir:

$$\mathcal{D} = \{(\mathbf{x}_i, \mathbf{l}_i)\}_{i=1, \dots, D}. \quad (3)$$

B. Sinyal Zamansal Mantık

Geçmiş zamanlı sinyal zamansal mantık için sözdizim kuralları

$$\begin{aligned} \varphi &= \mathbf{T} | x > c | x < c | u = c | \neg \varphi | \varphi_1 \wedge \varphi_2 | \varphi_1 \vee \varphi_2 | \\ &\varphi_1 S_{[a,b]} \varphi_2 | F_{[a,b]}^- \varphi | G_{[a,b]}^- \varphi \end{aligned}$$

şeklinde tanımlanır. \neg - değil, \wedge -ve ile \vee -veya mantık operatörleridir. $S_{[a,b]}$ (olduğundan beri, since), $F_{[a,b]}^-$ (geçmişte bir zaman, previously) ve $G_{[a,b]}^-$ (şimdiye kadar, always) ise geçmiş zaman operatörleridir. Bir ptSTL formülünün semantiği bir sinyal \mathbf{x} ve zaman k için tanımlanır. Özetle, k anında, $F_{[a,b]}^- \varphi$ formülünün sağlanması (yani, $(\mathbf{x}, k) \models F_{[a,b]}^- \varphi$), φ 'nin $[k-a, k-b]$ aralığında en az bir an sağlandığını, $(\mathbf{x}, k) \models G_{[a,b]}^- \varphi$, φ formülünün $[k-a, k-b]$ aralığındaki her anda sağlandığını, $(\mathbf{x}, k) \models \varphi_1 S_{[a,b]} \varphi_2$ formülü ise φ_2 formülünün $[k-a, k-b]$ aralığında bir t anında sağlandığını ve φ_1 formülünün $[t, k-b]$ aralığındaki her anda sağlandığını ifade eder. $(\mathbf{x}, k) \models \varphi$ notasyonu \mathbf{x} sinyali üzerinde, k anında φ formülünün sağlandığını ifade eder.

Tanım 1 (Operatör Sayısı): Bir formülün *Operatör Sayısı*, o formülün içindeki Boole ve STL operatörlerinin ($\{\vee, \wedge, \neg, F^-, G^-, S\}$) kaç tane olduğunu ifade eder. Bir ϕ formülünün operatör sayısı $os(\phi)$ olarak gösterilir. Örneğin, $os((x^1 < 10) \wedge (u^0 = 2)) = 1$, $os(\varphi_1 S_{[a,b]} \varphi_2) = os(\varphi_1) + os(\varphi_2) + 1$.

Tanım 2 (X Operatörü): X , 'bir önceki anda' operatörüdür, formülün zamansal olarak bir önceki anki sağlanma değerinden bahsetmeyi sağlar. Herhangi bir \mathbf{x} izi ve ptSTL ϕ formülü için: $(\mathbf{x}, k) \models X\phi \iff (\mathbf{x}, k-1) \models \phi$. $X\phi$ formülü $F_{[1,1]}^- \phi$ ile $G_{[1,1]}^- \phi$ formüllerine denk olduğu için standard notasyonda bulunmamaktadır.

n tane X operatörünün ard arda sıralandığı $XX \dots X\phi$ formülü, kısaca $X^n\phi$ olarak gösterilir.

Not: Operatör sayısı, yalnızca Boole ve STL operatörleri üzerinde tanımlanmıştır. Bir formülün içindeki X operatörü sayısı, o formülün *Operatör Sayısı*'ni etkilemez.

C. Problem Tanımı

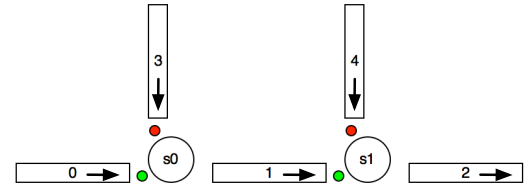
Bu çalışmada amaç bir dinamik sistem (1) ve bu sistemin etiketlenmiş izlerinden oluşan veri kümesi kullanılarak, bu etiketleri ifade edecek **kontrol edilebilir** bir ptSTL formülü bulmaktır. Bu problem zaman serisi verileri üzerinde ikili bir sınıflandırma problemi olarak değerlendirilebilir. Bu çalışmada, üretilen formülün veri kümesi ile uyumluluğu F_β skoru ile ölçülmüştür.

Örnek 2.1: Bildiride, Şekil 1'de verilen, 5 yol ve 2 trafik ışığından oluşan trafik sistemi, örnek olarak kullanılmıştır. Her yolun sonlu bir kuyruk olarak modellenmesi ile parçalı doğrusal bir dinamik sistem modeli tanımlanır [9]. Bu modelde sistem durumları x^0, x^1, x^2, x^3 ve x^4 , sırasıyla 0, 1, 2, 3 ve 4. yollardaki araç sayılarını temsil eder. Ana yollar, $i \in \{0, 1, 2\}$, için $x^i \in [0, 40]$ ve yan yollar, $i \in \{3, 4\}$, için $x^i \in [0, 20]$ olarak tanımlanmıştır. Kontrol girdileri trafik ışıklarıdır. u^0, s_0 ; u^1, s_1 ışığını temsil eder. $u^0, u^1 \in \{0, 1\}$. Bir trafik ışığının 0 değeri alması yatay trafik akışına izin verip dikey akışı durdurduğunu, 1 değeri alması ise tam tersini ifade eder.

Bu sistem için etiketli veri kümesi oluşturulurken, sistem rastgele başlangıç koşullarından başlatılmış ve simülasyon sırasında, her adımda kontrol girdileri rastgele seçilmiştir. Bir adım sonrasında, herhangi bir yoldaki araç sayısı, o yolun kapasitesinin %75'inden fazlaysa, yani $k+1$ anındaki sistem durumu, \mathbf{x}_{k+1} , (4) formülünü sağlamıyorsa, $l_k = 1$ olarak atanmıştır (bir adım öncesindeki etiket erken tanı için kullanılmıştır).

$$x^0 < 30 \wedge x^1 < 30 \wedge x^2 < 30 \wedge x^3 < 15 \wedge x^4 < 15 \quad (4)$$

Veri kümesi oluşturulurken uzunlukları 100 olan toplam 20 simülasyon yapılmıştır. Bu veri kümesinde, (4) formülünün sağlanmama oranı (trafik tıkanıklığı oranı) %46 olmuştur. Bu örnek sistem için amaç, tıkanıklığa yol açan durumları kontrol edilebilir formüller halinde üretmek, ardından bu formüller ile sinyal kontrol stratejisi üretilip trafik tıkanıklığını azaltmaktır.



Şekil 1: 5 yol ve 2 trafik ışığından oluşan bir trafik sistemi.

III. KONTROL EDİLEBİLİRLİK

Bir kontrol sistemi (1) için, kontrol girdileri ($u^i \in \mathbb{U}$) ve sistem değişkenleri ($x^i \in \mathbb{X}$) üzerine tanımlanmış bir ptSTL formülü Φ , eğer her bir k anında sistemin bir $k' < k$ anına kadar olan izi,

$$(x_0, u_0), \dots, (x_{k'-1}, u_{k'-1}, x_{k'})$$

için sistemin k anında Φ formülünü sağlamamasını garanti edecek $((\mathbf{x}, k) \not\models \Phi)$ bir kontrol girdisi dizisi $u_{k'}, u_{k'+1}, \dots, u_k$ bulunabiliyor ise, Φ formülü *kontrol edilebilirdir* denir. Diğer bir deyişle, Φ 'nin kontrol edilebilirliği, $\neg\Phi$ 'nin sağlanabilirliğine (satisfiability) denktir. Verilen kontrol edilebilirlik tanımını, değerlendirilen sistem için, her bir k anında sistemin Φ formülünü ihlal etmesini sağlayacak bir kontrol stratejisinin olduğunu garanti eder.

Örnek bir kontrol edilebilir formül u^1 'in değer kümesi $\mathbb{U}^1 = \{0, 1\}$ olduğu durumda, $\Phi = (u^1 = 1) \wedge (x^1 > 30)$ 'dur. x^1 'in 30'dan küçük veya büyük olmasından bağımsız olarak, u^1 'e 0 değeri atanarak, herhangi bir anda $(\mathbf{x}, k) \not\models \Phi$ durumu sağlanabilir.

Bu çalışmada önerilen kontrol edilebilir formül şablonu Ψ (5) olarak tanımlanmıştır.

$$\Psi := \Phi_1 \vee \dots \vee \Phi_p, \quad (5)$$

Ψ (5) bir çok kontrol edilebilir Φ_i (6) *neden* formülünün veya operatörü ile birleştirilmesi ile oluşturulmuştur. Her bir neden formülü (6)'da verilen şablona uygun olarak tanımlanmıştır.

$$\Phi_i^{(l,r)} = \phi_i^{\{u\}} \wedge \phi_i^{\{x,u\}} \quad (6)$$

Burada $\phi_i^{\{u\}}$ yalnızca kontrol girdileri (u) içeren bir ptSTL formülüdür, $\phi_i^{\{x,u\}}$ ise hem kontrol girdilerini hem sistem durumunu (x, u) içeren bir ptSTL formülüdür ve $os(\phi^{\{u\}}) = l$ ve $os(\phi^{\{x,u\}}) = r$ 'dir.

Teorem 3.1: $\phi^{\{u\}}$ kontrol edilebilirse, $\Phi^{(l,r)} = \phi^{\{u\}} \wedge \phi^{\{x,u\}}$ kontrol edilebilirdir.

İspat: $\phi^{\{u\}}$ formülünün kontrol edilebilir olması, her k anında, her sistem izi için $(\mathbf{x}, k) \not\models \phi^{\{u\}}$ 'ni sağlayacak kontrol u bulunabileceğine denktir. $(\mathbf{x}, k) \not\models \phi^{\{u\}} \implies (\mathbf{x}, k) \not\models \phi^{\{u\}} \wedge \phi^{\{x,u\}} = \Phi^{(l,r)}$ gözlemi ispatı tamamlar. ■

Teorem 3.2: Denklem (1)'deki gibi tanımlanmış sistemler için, **F** (false) formülü dışındaki kontrol edilebilir bütün formüller (6) şeklinde yazılabilir.

İspat Fikri: Bildirideki yer kısıtından ötürü, ispat yerine teoremin ispatında kullanılan temel fikir anlatılmıştır.

$\Phi^{(l,r)}$ şablonunun herhangi bir ptSTL formülüne getirdiği tek kısıt, formülde, formülün geri kalanına "ve" operatörü ile bağlı, yalnızca kontrol girdilerinden oluşan bir birim bulunmasıdır. Verilen kontrol edilebilir formül tanımından ötürü, **F** formülüne denk olan formüller dışındaki bütün formüllerde kontrol girdisi bulunması gereklidir. Örneğin φ formülü hiçbir kontrol girdisi içermeyen rastgele bir "kontrol edilebilir" formül olsun. Buna göre formülün içerdiği bütün eşitsizlikler $x^i \sim c$ formundadır ($\sim \in \{<, >\}$). Bu kontrol edilebilirlik tanımını ile çelişmektedir, çünkü (1)'deki gibi tanımlanan herhangi bir sistem için bu formülün ihlal edilmesini sağlayacak kontrol dizisi bulunması garanti edilemez. Ulaşılan çelişki, φ 'nin en az bir kontrol girdisi bilgisi ($u^i \sim c$) taşıdığını gösterir.

Herhangi bir ptSTL formülü üzerinde, aşağıdaki dönüşüm kuralları uygulanarak $G_{[a,b]}^-$ ve $F_{[a,b]}^-$ operatörleri, X operatör-

leri ile değiştirilebilir.

$$G_{[a,b]}^- \phi = X^b \phi \wedge X^{b+1} \wedge \dots \wedge X^a \phi$$

$$F_{[a,b]}^- \phi = X^b \phi \vee X^{b+1} \vee \dots \vee X^a \phi$$

X operatörleri, operatörler yalnızca atomik formüllerin önünde kalıncaya dek \vee ve \wedge operatörleri üzerine dağıtılabilir ($\sim \in \{\wedge, \vee\}$):

$$X^n(\phi_1 \sim \phi_2) = X^n \phi_1 \sim X^n \phi_2$$

Her değişken eşitsizliğini önündeki X operatörleri ile birlikte bir atomik formül olarak düşünerek, formülün birleşim normal formunda (CNF-conjunctive normal form) denkliği yazılabilir. Sonrasında, değil \neg operatörü, X operatörlerinin içine aşağıdaki kurala göre geçirilebilir:

$$\neg X^n \phi = X^n \neg \phi$$

Betimlenen işlemler sonrasında ulaşılan formül aşağıdaki formdadır:

$$\phi_1 \wedge \dots \wedge \phi_z \quad (7)$$

öyle ki, her bir ϕ_i yalnızca $X^n x^j \sim c$ ve $X^n u^j \sim c$ formundaki atomik formüllerin \vee operatörü ile birleşiminden oluşur. İspatın başında sunulan argümandan ötürü, (7) formülünün ihlal edilebilirliği; ancak bu ϕ_i formüllerinden en azından bir tanesi sadece $X^n u^j \sim c$ formundaki formüllerden oluşuyorsa garanti edilebilir. Bu formülün diğerleri ile \wedge operatörü ile bağlanması, ve herhangi bir kontrol edilebilir formülün bu forma dönüştürülebilmesi sunulan ispatı tamamlar.

Not:Kısıtlı zaman limitlerine sahip S operatörü F^- ve G^- operatörleri tarafından ifade edilebildiğinden, yer kısıtı nedeniyle S operatörü kanıta dahil edilmemiştir.

Kontrol edilebilir neden formüllerinin (6) şeklinde tanımlanabildiği gösterildi. 3.1'e göre, eğer $\phi^{\{u\}}$ kontrol edilebilir ise, $\Phi^{(l,r)}$ de kontrol edilebilirdir. Bu çalışmada, $\phi^{\{u\}}$ 'nun kontrol edilebilirliğini tam kapsamlı arama (exhaustive search) ile kontrol edilmektedir. Yani, $\phi^{\{u\}}$ formülünde geçen tüm girdilerin tüm değerlerinin tüm olası kombinasyonlarını formül üzerinde denenmekte. Eğer $\phi^{\{u\}}$ 'nun değerini **F** yapan bir kontrol girdisi değeri bulunabilirse, $\phi^{\{u\}}$ kontrol edilebilirdir sonucuna ulaşıyor.

IV. KONTROL EDİLEBİLİR FORMÜL ÜRETME ALGORİTMASI

Bu çalışmada, [8] numaralı referansta sunulan formül arama algoritması uyarlanarak (5) formatında ve (6) şeklinde tanımlanmış alt nedenler içeren bir formül üretilmesi sağlanmıştır. Bu uyarlama sırasında, operatör sayısının artışı, alt neden formülü yapısındaki değişikliğe göre adapte edilmiştir. Temel olarak [8] numaralı çalışmada sadece $G_{[0,b]}^- u = c$ formatındaki kontrol formüllerine izin verilirken (tek operatör $G_{[0,b]}^-$), bu çalışmada kontrol girdileri üzerine tanımlı herhangi bir kontrol edilebilir formüle izin verilmektedir. Dolayısı ile $\phi^{\{u\}}$ formülünün içerisinde geçen operatörler de yinelemeli algoritma içerisinde hesaplanmıştır. Ek olarak, formül türetme algoritmasına kontrol edilebilirlik için doğrulama adımı eklenmiştir.

Bütünlük açısından, detaylara girilmeden formül türetme algoritması, ana hatlarıyla aşağıda verilmiştir.

Algoritmanın aldığı parametreler: $\overline{total_oc}$, $\overline{total_oc}$ toplam operatör sayısı ((6)'deki $l+r$) için alt ve üst limitler, \bar{p} : (5) formülündeki p için üst limit, val : Ψ formülüne eklenecek her yeni $\Phi_i^{(l,r)}$ 'nin, Ψ formülünün değerine getirmesi gereken artış için alt limit, \mathcal{D} : (3) veri kümesi, \mathcal{P} : parametre değer kümesi.

Algoritmada öncelikle $anlık_os = \frac{total_oc}{son_formül_başarısı} = 0$, Ψ formülü boş olarak başlatılır.

$anlık_os < \overline{total_oc}$ ve Ψ 'nin boyu \bar{p} 'den küçük iken, aşağıdaki adımlar tekrarlanır:

- $l+r=anlık_os$ 'yi sağlayan $l, r \in \mathbb{N}$ olacak şekilde tüm (l, r) ikili kombinasyonları bulunur ve operatör sayısı l olan tüm $\phi^{\{u\}}$ formülleri şablon olarak üretilerek $\phi^{\{u\}}$ -listesi oluşturulur, operatör sayısı r olan tüm $\phi^{\{x,u\}}$ formülleri şablon olarak üretilerek $\phi^{\{x,u\}}$ -listesi oluşturulur. (Örn, $l=0$ için, trafik örneğinde, $\phi^{\{u\}}$ -listesi = $[(u^0 = c_0), (u^1 = c_1)]$)
- $\phi^{\{u\}}$ -listesi'deki formüllerin içinde parametreler yerleştirilir, kontrol edilemeyen formüller elenir, kontrol edilebilir parametrik formüllerden parametrik- $\phi^{\{u\}}$ -listesi oluşturulur.
- parametrik- $\phi^{\{u\}}$ -listesi ve $\phi^{\{x,u\}}$ -listesi'ndeki formüllerden birer formül alınarak oluşturulabilecek tüm $(\phi_i^{\{u\}} \wedge \phi_j^{\{x,u\}})$ formülleri oluşturulur ve bu formüllerden Φ -listesi oluşturulur.
- Şebeke araması (grid-search) ile Φ -listesi'ndeki tüm formül şablonlarına tüm olası parametre değerleri yerleştirilir ve içlerinden en başarılı olanı Φ^* bulunur.
- Φ^* 'in başarı değeri – $son_formül_başarısı \geq val$ ise,
 - $\Psi = \Psi \vee \Phi^*$
 - $son_formül_başarısı = \Psi^*$ 'in başarı
 - $son_başarılı_formül_os = anlık_os$
- Φ^* 'in başarı değeri – $son_formül_başarısı < val$ ise,
 - $son_başarılı_formül_os \neq anlık_os$ ise,
 - Algoritma sonlandırılır
 - Aksi takdirde,
 - $anlık_os += 1$

Trafik örneği üzerindeki sonuçlar: Geliştirilen formül arama algoritması trafik örneği (2.1) üzerinde çalıştırıldığında elde edilen sonuçlar, algoritmanın çalıştırıldığı parametre değerleri ile birlikte TABLO I'de verilmiştir:

oc	\overline{oc}	\bar{p}	Ψ
1	1	1	$((u^0 = 0) \wedge ((x^3 > 10) \wedge (u^0 = 0)))$
2	2	1	$((u^0 = 0) \wedge ((x^4 > 10) \wedge (u^1 = 0)) \vee (x^3 > 10))$
0	2	∞	$((u^1 = 0) \wedge (x^4 > 10)) \vee (((u^0 = 0) \wedge (x^3 > 10)) \vee (((u^0 = 1) \wedge (x^0 > 30)) \vee (((u^1 = 1) \wedge (x^1 > 30))))$

TABLO I

oc ve \overline{oc} , sırasıyla $total_oc$ ve $\overline{total_oc}$ 'yi temsil etmektedir. İlk iki örnekte $\bar{p} = 1$ olduğu için val etkisizdir. Son örnekte

$val = 0.001$ değeri kullanılmıştır. Ψ , geliştirilen algoritmanın verilen parametrelerle çalıştırılması sonucu elde edilen neden formülüdür.

Sonuçlar Şekil 1 üzerinden incelendiğinde, bulunan neden formüllerinin sezgilere uygun olduğu görülebilir. Her bir alt neden formülü genellikle, bir trafik ışığının, doluluk oranı yüksek bir yoldaki trafik akışını engellememesi gerektiğini ifade eder.

V. SONUÇ

Bu bildiriye, etiketli sinyal kümesi üzerinde ptSTL formülleri türetilerek istenmeyen olayların nedenlerini bulmaya yönelik bir kontrol edilebilir neden şablonu sunulmuştur. Geliştirilen bu şablon, kontrol edilebilir tüm nedenleri kapsamaktadır. İstenmeyen olayların frekansını düşürmek için uygulanacak takip aşaması, bu nedenlerin bir kontrolcü ile engellenmesidir. Bildiriye sunulan şablonun, daha önce kullanılan şablonlardan daha açıklayıcı olması, çözümün başarısını artıracaktır. Sistembağımsız bu istenmeyen olay tespit etme ve azaltma algoritmasının verimliliğini artırmak için atılabilecek bir sonraki adım, verilen şablondaki formüllerin kontrol edilemeyenlerinin elenmesi için bulunacak daha verimli bir algoritma veya şablonda yapılacak bir basitleştirme olacaktır.

BİLGİLENDİRME

Bu çalışma 117E242 numaralı TÜBİTAK projesi ile desteklenmiştir.

KAYNAKLAR

- [1] A. Lavin and S. Ahmad, "Evaluating real-time anomaly detection algorithms – the numenta anomaly benchmark," in *2015 IEEE 14th International Conference on Machine Learning and Applications (ICMLA)*, Dec 2015, pp. 38–44.
- [2] A. Bhatia, L. E. Kavrakı, and M. Y. Vardi, "Motion planning with hybrid dynamics and temporal goals," in *IEEE Conference on Decision and Control*, Atlanta, GA, 2010, pp. 1108–1115.
- [3] P. Tabuada and G. J. Pappas, "Linear time logic control of discrete-time linear systems," *Automatic Control, IEEE Transactions on*, vol. 51, no. 12, pp. 1862–1877, 2006.
- [4] M. Lahijanian, J. Wasniewski, S. B. Andersson, and C. Belta, "Motion planning and control from temporal logic specifications with probabilistic satisfaction guarantees," in *IEEE International Conference on Robotics and Automation*, Anchorage, AK, 2010, pp. 3227–3232.
- [5] C. Yoo and C. Belta, "Rich time series classification using temporal logic," in *Proceedings of Robotics: Science and Systems*, Cambridge, Massachusetts, July 2017.
- [6] X. Jin, A. Donze, J. V. Deshmukh, and S. A. Seshia, "Mining requirements from closed-loop control models," *IEEE Transactions on Computer-Aided Design of Integrated Circuits and Systems*, vol. 34, no. 11, pp. 1704–1717, Nov 2015.
- [7] E. Bartocci, L. Bortolussi, and G. Sanguinetti, "Data-driven statistical learning of temporal logic properties," in *FORMATS 2014, LNCS, vol. 8711*. Springer International Publishing, 2014, pp. 23–37.
- [8] I. Sağlam and E. A. Gol, "Cause mining and controller synthesis with stl," in *58th IEEE Conference on Decision and Control (CDC)*, 2019, pp. 4589–4594.
- [9] S. Coogan, E. A. Gol, M. Arcak, and C. Belta, "Traffic network control from temporal logic specifications," *IEEE Transactions on Control of Network Systems*, vol. 3, no. 2, pp. 162–172, 2016.